

# SAROS KÖRFEZİ BÖLGESİNİN TEKTONİĞİ VE YAPISI

## Tectonics and Structure of the Saros Bay Area

Coşkun SARI\*, Erdeniz ÖZEL\* ve Mustafa ERGÜN\*

### ÖZET

Genişleme ve transform hareketleri ile beraber Kuzey Ege ve Marmara Denizi havzaları hızlı bir çökelim özelliğini göstermektedir. Saros havzası, jeolojik olarak bir Tertiyer havzası olarak gelişen Trakya havzasının devamıdır. Ege Denizi' nin kuzeydoğusunda yer alan Saros Körfezi, Marmara Denizi' nden aktif Ganosdağı fayı ile ayrılmaktır olup Kuzey Anadolu Fayı (KAF)' nın sağ yanal atım hareketinin ortak genişleme (tensional) ve yanal-atım hareketine dönüşmesiyle bu havzalar oluşmaktadır. Üst üste binmiş deformasyonları içeren birçok sıkışma ve genişleme tektonik rejimlerinin etkisinde kalan bu bölgelerin oluşumu oldukça karmaşıktır. Kuzey Ege bölgesinde Avrasya' ya göre Ege bloğunun hareketi grabenlerin oluşmasına neden olan DKD ile KD uzanımlı yanal atımlı faylar nedeniyle gelişmiştir. Fakat, bu grabenlerin oluşmasına başka hareketlerin etkisinin olduğu gerçeği de gözardı edilmemelidir.

Rejyonel açıdan Saros Körfezi bölgesinin tektonik ve tortul otuşumu gravite, manyetik ve derin çok kanallı sismik veriler yardımıyla analiz edilmeye çalışılmıştır. Bu verilerin jeofizik yorumları yapılacak ve jeolojik sonuçlar tartışılmacaktır. Gravimetrik olarak Saros Körfezi izostatik olarak tam bir dengede bulunmamaktadır. Saros Körfezi bölgesini güneyden kuzeye horst ve grabenlerden oluşan beş temel yapı ile tanımlanmaktadır;

- (i) Çanakkale grabeni
- (ii) Gelibolu horstu
- (iii) Saros grabeni
- (iv) Semadirek Hisarlıdağ yükselimi
- (v) Enez grabeni.

Saros Körfezi üzerinde belirgin bir manyetik anomali bulunmamaktadır. Kuzeyde Enez volkanikleri ile Ganosdağı fay zonuna bağlı olarak ophiyolit kuşağıının yarattığı manyetik anomaliler mevcuttur. Sismik yansımaya verilerinden

- (i) Alt Eosen
- (ii) Orta Eosen-Oligosen
- (iii) Miyosen-Pliyosen-Kuvaterner olmak üzere üç sedimanter formasyon ortaya konmuştur.

### ABSTRACT

The basins of the North Aegean and the Sea of Marmara show the characteristics of rapid subsidence accompanied by extension and transform motions. The Saros basin is the extension of Thrace basin geologically which was developed as the Tertiary basin. The Saros bay area which is situated at the northeastern corner of Aegean Sea, and the Sea of Marmara, pure dextral strike-slip motion of the north Anatolian Fault (NAF) changes into the combination of tensional and strike-slip movements which are responsible for the creation of these basins where the Ganosdağ active fault joins them. The evolution of these basins is complicated because they have suffered several compressional and extensional tectonic regimes which have resulted in superimposed deformations. The relative motion between the Aegean block and Eurasia in the Northern Aegean region has been released by the ENE and NE trending strike-slip faults which are responsible for the creation of grabens. However, it should be pointed out that there can be affects of some other motions on the formations of these grabens. On the basis of deep multi-channel seismics, gravity and magnetic data, the tectonic and sedimentary evolution of Saros bay area will be discussed within the regional context. The geophysical interpretations of these data will be carried out and their geological implications will be discussed. The Saros bay area is not exactly in the isostatic equilibrium. Five fundamental structures as hosts and grabens, have been identified in the Saros bay area from south to north as;

- (i) Çanakkale graben
- (ii) Gelibolu horst
- (iii) Saros graben
- (iv) Samothraki-Hisarlıdağ host
- (v) Enez graben

No regular magnetic anomalies are present on the Saros bay area. There are some magnetic anomalies associated with the Enez volcanics and with the ophiolites belonging to the Ganos fault zone. The sedimentary formations have been identified from the seismic reflection data:

- (i) Lower Eocene
- (ii) Middle Eocene-Oligocene
- (iii) Miocene-Pliocene-Quaternary

### GİRİŞ

Bir çöküntü havzası niteliğindeki Kuzey Ege Çukuru' nun devamı olan Saros Körfezi, Türkiye' nin KB' sında yer almaktır olup kuzeyinde Trakya, güneyinde Gelibolu yarımadası ile çevrilenmektedir. Saros Körfezi' nin

jeolojisi ve tektoniğine bakıldığından etkin faylardan oluşan Ganosdağı havzasının Kuzey Ege çukurluğunu Marmara Denizi' ne birléstirdiği görülür. Saros havzası, Kuzey Anadolu Fayı (KAF) boyunca Marmara Denizi havzası ile Kurey Ege Çukuru' ndaki Sporadhes havzası arasında GB-KD yönünde uzanır. Havza aynı zamanda

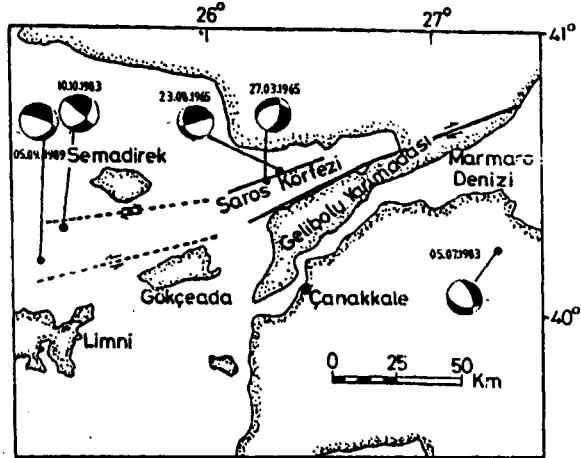
\* Dokuz Eylül Üniversitesi, İZMİR.

1500 km. uzunluğunda, sismik olarak aktif, sağ yanal atımlı transform fayı özelliğindeki KAF ile tektonik bir birlilik oluşturur. KAF, Marmara Denizi içinden ve güneyinden geçerek Ege Denizi' nin kuzeyine doğru batı yönünde ilerlerken yüksek depremsellikle ilişkili bir tektonik bölgeyi tanımlayan bir kaç fay kollarına ayrıılır (Cramplin ve Evans 1986, Barka ve Kadinsky-Cade 1988, Barka 1992). Marmara Denizi, Saros Körfezi ve Kuzey Ege Çukuru KAF' in kuzey kolu üzerinde yer almaktadır. Bu alandaki DKD-KD yönlü doğrultu atımlı faylar Sporadhes, Saros, Skiros ve Marmara formasyonlarındaki grabenlerle ilişkilidir. Saros Körfezi' nin kuzeyinde yer alan derin ve Pliyo-Pleistosen zamanında tortullarla dolan bir grabenin varlığı KD-GB fay sisteminin etkisiyle ve olasılıkla Sporadhes havzasının GB' ya, Doğu Trakya havzasının da KB' ya birleşmesi sonucu gerçekleşmiştir. "Burke ve Uğurtaş (1974), bölgenin önemli bir Neojen havzası olduğunu kanıtlamışlardır". Bu alanı sınırlayan fayların aktif olduğu düşünülmektedir (Mercier ve diğ. 1991).

### SAROS KÖRFEZİ' NİN TEKNOTİĞİ VE SİSMOLOJİSİ

Ege Denizi' nin kuzeyinde birkaç kola ayrılan KAF' in oluşturduğu geniş fay zonu Ege bloğu ile Avrasya arasında ana sınır olarak büyük bir genişlemeye olanak tanır. Bu durum, bu bölgedeki büyük depremlerin fay düzlemi çözümlerinden de saptanmıştır (Rotstein 1985, Taymaz ve diğ. 1991, Barka 1992) (Şekil 1). Normal faylarla ilişkili olan depremler Ege Denizi kuzeyindeki ana grabenler arasında meydana gelir ve çoğu KB-GD doğrultulu faylara sahip olup KD-GB yönlü açılma tektoniğini vurgular. Saros çukuru civarında saptanan depremlerin fay düzlemi çözümleri sağ yanal hareketin varlığını açıkça göstermektedir (Barka, 1992).

Saros havzası, kuzey sınırları boyunca büyük normal fay sistemleri ile sınırlanmış yarı graben özelliğindedir (Le Pichon ve diğ. 1984). Gelibolu yarımadasını geçen faylar Saros çukurunun DKD uzanımı boyunca devam etmektedir. Saros çukuru ile ilişkili faylanma, çukurun batı bölümünden GD eğimli (Le Pichon ve diğ. 1984), Gelibolu yarımadasının kuzey kıyısı boyunca KB eğimli ve Marmara Denizi' nin batısındaki derin kıyı ötesi havzanın KB kenarı ile sınırlı Ganosdağ boyunca GD eğimlidir. Faylanmanın uzanımı boyunca simetrisinin hareket yönü değişen havza,  $25^{\circ}$  D boylamından Marmara Denizi' nin batı havzasına dek (yaklaşık  $27^{\circ} 5'$  D boyamı) yarı sürekli bir özellik gösterir. Havzanın uzanımı boyunca faylanma ve eğimlenmede görülen değişim açılma grabenlerinin ortak özellikleridir.



Şekil 1: Saros Körfezi Havzasında meydana gelen depremlerin fay düzlemi çözümleri ve ilişkili tektonik hatlar (Taymaz ve diğ., 1991 ve Barka 1992'den)

Figure 1: Fault plane solutions of the earthquakes in the Saros Bay and related tectonic lines (from Taymaz et. al 1991 and Barka 1992)

### SAROS KÖRFEZİ' NİN GRAVİTE MANYETİK VE ISI AKISI VERİLERİ

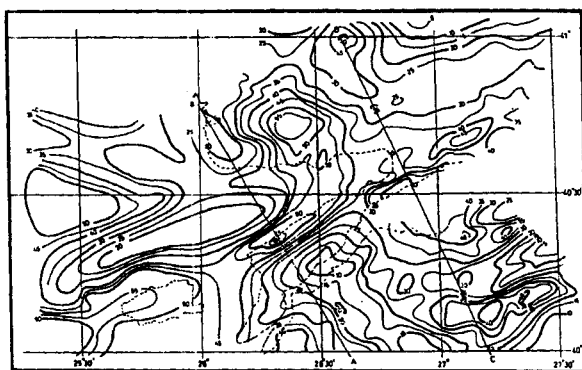
Türkiye anakarası ve Batı Türkiye' nin orta bölgeleri 60-70 mGal arasında negatif Bouguer anomalisi gösterirler. Bouguer gravite değerleri batıdan doğuya doğru azalır. Bouguer gravite anomalisinin sıfır konturu Marmara Denizi' nin doğusunda KAF' in uzanımını izler. Bu uzanım İznik körfezinin hemen güneyinde DKD-BGB yöne doğru bükülerek 1500 m. derinlige ulaşan dik morfolojik çukurlar ile çukurları dolduran kalın tortul örtünün neden olduğu düşük gravite değerleriyle belirlenen Kuzey Ege Çukuru' nda da devam eder (Makris 1977, Brooks ve Kiriakidis 1986). Bu nedenle Saros havzası, Kuzey Ege çukuru ve KB Türkiye ile aynı uzanıma sahiptir. Gerçekte, bu uzanımlar Doğa Makedonya ve Trakya' da gözlenen uzanımlara özdeştir.

Ege Denizi, Alpidik orojenik bölgesi üzerine üst üste binmiş graben karmaşaları ve asimetrik graben serilerinin oluşturduğu ve geçen 10-12 Ma üzerinde gösterdiği genişleme ile klasik iç denizel bir havzayı simgelemekte olup, anormal üst manto zonu ile ilişkilidir. Listrik faylanmanın etkilerinin görüldüğü bölgelerde kabuksal açılma miktarı yaklaşık % 50 ( $\beta=1.5$ )' dir. Ege Denizi havzası gibi açılma rejimlerini tanımlamak için;

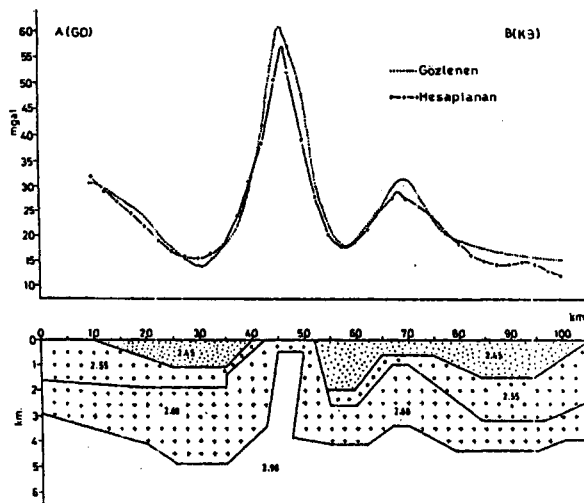
- 1) Her bir graben yapısı yerel olarak oldukça incelmiş kabuk zonunun alta yer almasyyla izostatik olarak dengelenmiştir (Le Pichon ve diğ. 1954).
- 2) Büyük tekdüze levhaların kaymasıyla oluşan açılma litosferin tamamına dek uzanan düşük açılı faylarla oluşturulur.

- 3) Bölgesel boyutta büükülme esnekliği ile içe doğru dalmanın sonucu olarak alt kabuktaki açılmayla beraber grabenler temel fay üzerinde son bulur.

gibi değişik kabuk modelleri önerilmektedir. -50 mGal değerinde serbest hava anomalisi gösteren Saros Körfezi alanı kuzeyde +20 mGal, güneyde +50 mGal düzeyinde serbest hava anomalisi gösteren komşu alanlarla tam olarak izostatik dengede değildir. (Morelli ve dig. 1975, Le Pichon ve dig. 1984). Saros Körfezi bölgesinin Bouguer anomali haritası (Şekil 2) Finetti ve Morelli(1973)'nin deniz verileri ilc Harita Genel Komutanlığı ve MTA'ının verilerinden derlenmiştir. Bouguer gravite anomalileri Gelibolu yarımadasının kuzey sahilleri ile Gökçeada ve Limni adaları boyunca BGB-DKD yönünde uzanan pozitif bir anomali kuşağıını vurgular. Saros havzası, güncel Saros Körfezi'ne doğru Gökçeada ve Semadirek adaları arasında BGB-DKD yönünde uzanan göreceli olarak 20 mGal düzeyinde düşük anomalilere sahiptir. Saros havzasının kuzeyinde yer alan Trakya'daki Hisarlıdağ yükseltimi ve Semadirek adası üzerinde de Bouguer gravite anomalilerinde artış görülmektedir. Benzer anomaliler çek-ayır (pull-apart) havzalar özelliği gösteren Marmara Denizi'nde de gözlenmektedir. (Barka 1992, Ergün ve Özel 1993). Çek-ayır havzalarında horst blokları ve grabenler doğrultu atımlı faylarla birbirlerinden ayrılmışlardır.

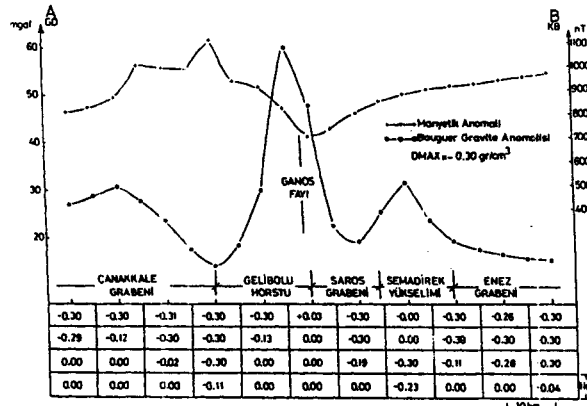


## Sarı ve diğ.



**Şekil 4** Saros Körfezi Bouguer Gravite anomali A-B kesitinin Tahvili modellenmesi (Tutlu 1991'den):

**Figure 4:** 2-D modelling of the Bouguer gravity anomaly (section A-B) of the Saros Bay (from Tutlu 1991)



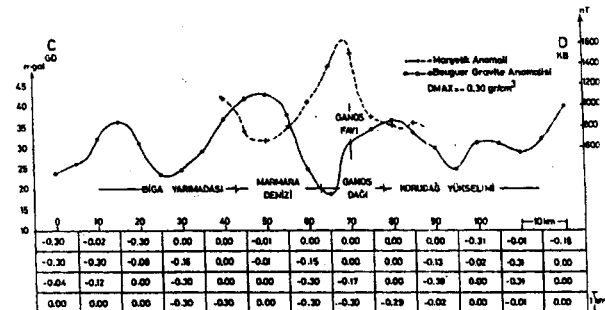
**Şekil 5:** Saros Körfezi Bouguer Gravite anomali C-D kesitinin yoğunluk kısıtlamalı en küçük hacim yaklaşımıyla çözümü.

**Figure 5:** Bouguer gravity anomaly of the Saros Bay (section A-B) solution for the minimum volume approach by using density constraint.

GD-KB uzanımlı C-D profili (Şekil 6) üzerinde yapılan uygulama sonucunda  $-0.3 \text{ gr/cm}^3$  yoğunluk farkı için saptanan yoğunluk dağılımında 90-120 km.' ler arasında yer alan Korudağ yükselişimi altındaki yoğunluk dağılımı gravite anomalisine büyük bir uyum göstermekte olup yüzeye doğru yoğunlaşmaktadır. Marmara Denizi ve Ganosdağı arasında kalan bölgede azalan gravite anomalisine karşılık manyetik anomali Ganos fayı üzerinde en yüksek değerine ulaşmaktadır. Saptanan bu özellikler olasılıkla yüzeyde yer alan ofiyolit birimlerin varlığı nedeniyle oluşmuştur. Bu nedenle, profilen 20-100 km' ler arası bölümde yoğunluk dağılımı düşük değerler göstermektedir.

Yögunluk farkının derinlikle 'değişimine' ilişkin uygulama amacıyla Saros Körfezi Bouguer anomali haritası 2.5 km. örnekleme aralığı ile sayısal-

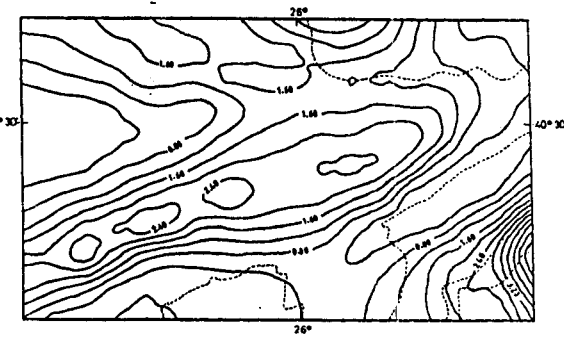
laştırılmıştır. Relatif etki giderilmesi sonucu elde edilen rezidüel verilere  $\Delta p(z) = -0.5 \exp(-0.15z)$  üstel yoğunluk işlevi için üç boyutlu analiz işlemi (Ek-1) uygulanarak Saros Körfezi' nin taban derinlik haritası saptanmaya çalışılmıştır.



**Şekil 6:** Saros Körfezi Bouguer Gravite anomali C-D kesitinin yoğunluk kısıtlamalı en küçük hacim yaklaşımıyla çözümü.

**Figure 6:** Bouguer gravity anomaly of the Saros Bay (Section C-D) solution for the minimum volume approach by using density constraint.

Tortul havzalardaki taban derinliğinin saptanmasında iyi sonuçlar veren yöntem sonucunda saptanan taban derinlik haritası Şekil 7' de görülmektedir.  $\Delta p(z) = -0.5 \text{ gr/cm}^3$  sabit yoğunluk farkı için saptanan taban derinliği (Şekil 8)' de önceki sonuçlarla benzerlikler göstermektedir. Körfez içinde saptanan derinlik değerleri iki boyutlu modelleme sonucu ilç de uyumludur.



**Şekil 7:** Saros Körfezi taban derinliği haritası ( $\Delta p = -0.5 \exp(-0.15z) \text{ gr/cm}^3$ ) (Boyuer 1993'den)

**Figure 7:** Basement depth of the Saros Bay ( $\Delta p = -0.5 \exp(-0.15z) \text{ gr/cm}^3$ ) (from Boyuer 1993)

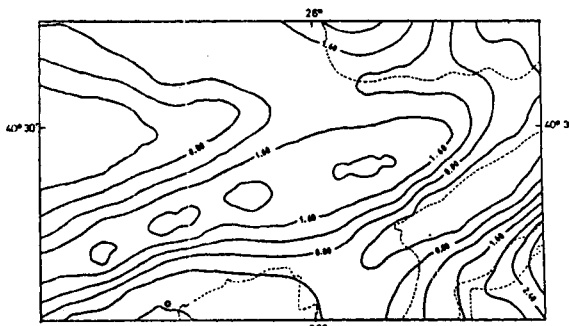
## SAROS KÖRFEZİ SİSMİK VERİLERİNIN YORUMU

Saros Körfezi' nde yapılmış sismik çalışmalar (Saner-1985) sonucunda

- (i) Üst Kretase-Alt Eosen istifi
- (ii) Orta Eosen-Olignsen istifi,

### (iii) Miyo-Pliy়ন্সেন istifi

olmak üzere üç çökel istif ayrılmıştır. Saros Körfezi' nin genişliği 10 km' yi aşan 50-100 m arası derinlige sahip kuzey şelfi üzerinde Kuvaterner tortulları bulunmaktadır. Şelfin güneyindeki şevde grabenin tabanında genç çökellerin güncel aktif faylarla basamaklı olarak alçaldığı ve grabenleşmenin sürdürdüğü görülmektedir (Şekil 9). Günümüzde grabenleşen Saros grabeninin kuzeyinde Miyosen ve Kuvaterner çökellerinin doldurduğu Saros Körfezi' nin kuzey şelfini oluşturan Enez grabeni bulunur. Kuzeyde Hisarlıdağ yükseltimi ile sınırlanan Enez grabeni ile Saros grabeni arasındaki Semadirek yükseltimi ile birbirlerinden ayıırlılar.



**Şekil 8:** Saros Körfezi taban derinliği haritası ( $\Delta\rho=-0.5 \text{ gr/cm}^3$ ) (Boyuer 1993)

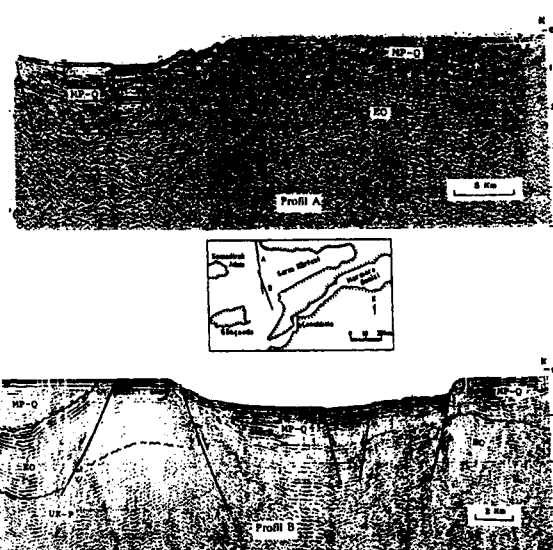
**Figure 8:** Basement depth of the Saros Bay ( $\Delta\rho=-0.5 \text{ gr/cm}^3$ ) (Boyuer 1993)

Gelibolu Yarımadası'nda görülen Üst Kretase-Alt Eosen çökellerinin varlığı Enez grabeninde sismik yansıtma kayıtlarından görülememiştir. Hisarlıdağ volkanitleri Enez grabenine doğru incelerek tortulları yer değiştirmektedir. Volkanik Örtü nedeniyle Enez yakınlarındaki sismik kesitlerde Miyosen çökelleri altından yansıtma alınamamıştır.

Sismik kesitlerde çukurlukları dolduran çökellerin başlangıçta çökelmeye aynı yaşı normal faylarla kesildiği, daha sonra faylanmaların durmasıyla çukurlukların genç katmanlarla örtüldüğü görülmektedir. Bu durum, var olan çukurluğun Miyosen'de grabenleşmesini sürdürüğünü kanıtlar (Saner 1985). Bu sismik ve diğer verilerden çıkartılan kuzey-güney yapı modeli Şekil (10)'da verilmiştir.

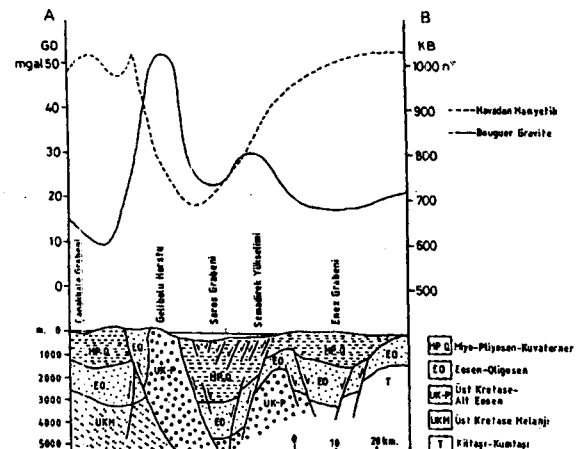
## SONUÇLAR

Kuzey Anadolu fayının Marmara Denizi batı uzantısı üzerinde yer alan Saros Körfezi genişleme ve yanal atımlı fayların etkisi altında oluşmuş bir çek-ayır (pull-apart) havzasıdır. Marmara Denizi'nden Ganosdağı fayı ile ayrılmıştır. Bouguer gravite anomalilerini güneyden kuzeye doğru Saros Körfezi bölgesinde



**Şekil 9:** Saros Körfezi sismik yansıtma kesitleri: a) Profil A, b) Profil B (EO: Ortalı Eosen-Oligosen, MP-Q: Miyo-Pliy়ন্সেন-Kuvaterner, UK-P: Üst Kretase-Alt Eosen) (Saner 1985'ten)

**Figure 9:** Seismic reflection sections of the Saros Bay; a) Profile A, b) Profile B (EO: Middle Eocene-Oligocene, MP-Q: Mio-Pliocene-Quaternary, UK-P: Upper Cretaceous-Lower Eocene) (from Saner 1985)



**Şekil 10:** Saros Körfezi bölgesinin yorumlamalı jeolojik modeli (Uluğ ve diğ.'den 1988)

**Figure 10:** Interpreted geological model of the Saros Bay area (from Uluğ et. al. 1988)

- Çanakkale grabeni
- Gelibolu yükseltimi
- Saros grabeni
- Semadirek yükseltimi
- Enez grabeni

olmak üzere beş temel yapı tanımlanmaktadır. Bu yapılar Marmara Denizi'nde olduğu gibi yanal atımlı faylarla kontrol edilmektedir. Büyülk bir olasılıkla tüm bölge genel olarak çökmektedir fakat grabenlerde

çökme daha fazladır. Semadirek yükselişi ve Gelibolu horstu Miyosen öncesi antiklinal yapıları olup Enez ve Saros grabenleri antiklinal alanlar arasındaki senklallerde gelişmişlerdir. Saros grabeninde modelleme sonucunda sediman kalınlıkları 5 km civarında bulunmuştur. Bu kalınlıklar Çanakkale grabeninde daha da fazladır. Bu yapının Marmara Denizi'ndeki örneklerde olduğu gibi negatif çiçek yapısında olduğu düşünülebilir. Bu durumda KAF'ın Saros Körfezi ve kuzey Ege çukurunda da etkinliğinin olduğunu imgelenmektedir.

## KAYNAKLAR

- Barka, A.A. and Kadinsky-Cade, K. 1988, Strike-slip fault geometry in Turkey and its influence on earthquake activity, *Tectonics* 7/3, 663-684.
- Barka, A.A. 1992, The north Anatolian fault zone, *Annales Tectonicae, Special Issue*, V. VI, 164-195.
- Bhaskara Rao, D. 1986, Modelling of sedimentary basins from gravity anomalies with variable density contrast *Geophy. Jour. Roy. Astr. Soc.* 84, I, 207-212.
- Bhaskara Rao, D., Prakash, M.J. and Ramesh Babu, N. 1990, 3D and 2-1/2D modelling of gravity anomalies with variable density contrast, *Geop. Prosp.* 38, 4, 411-422.
- Boyuer, C.A. 1993, Değişken yoğunluk farkı ile gravite anomalilerinin üç boyutlu analizi, DEÜ Müh. Fak. Jeofizik Müh., Yayımlanmamış Lisans Tezi.
- Brooks, M. and Kiriakidis, L. 1956, Subsidence of the North Aegean trough: an alternative view, *Jour. Geol. Soc. Lond.* 143, 23-27.
- Burke, W.F. and Uğurtaş, G. 1974, Seismic interpretation of Thrace basin, *Proc. Second Petroleum Congress of Turkey* 229-249, TPAO International report, Ankara.
- Cramplin, S. and Evans, R. 1986, Neotectonic of the Marmara Sea region in Turkey, *Jour. Geol. Soc. Lond.* 143, 343-348.
- Ergün, M. 1977, Magnetic studies in Cyprus and the Biga Peninsula, Ph.D. Thesis, Univ. of Leicester, England.
- Ergün M. ve Özel E. 1994, Structural relationship between the sea of Marmara basin and the north Anatolian fault zone, *Terra Nova (Baskıda)*.
- Finetti, I. and Morelli, C. 1973, Geophysical Exploration of the Mediterranean Sea and in the eastern Mediterranean, *Boll. Geofis. Terro. Appl.* 15, 60.
- Jongsma, D. 1974, Heat flow in the Aegean Sea, *Geophy. Jour. of Roy. Astr. Soc.* 37, 337-346.
- Le Pichon, X., Lyberis, N. and Alvarez, F. 1954, Subsidence history of the North Aegean trough. In *Geological evolution of the Eastern Mediterranean*, Dixon, J.E. and Robertson, A.H.F. (Ed.), Spec. Publ. of Geol. Soc. Lond. 17, 709-725.
- Makris, J. 1977, Geophysical Investigations of the Hellenides. Hamburger Geophysikalische Einzelschriften, Nr.33, 128 pp.
- Mercier, J.L., Vergeley, P., Simeakis, C., Kissel, C. and Laj, C. 1991, The continuation of the North Anatolian dextral strike-slip fault into the oblique fault zone of the North Aegean trough (W. Turkey and N. Greece): timing, tectonic regimes, fault kinematics and rotations, *Tectonics, submitted*.
- Morelli, C., Pisani, M. and Gantar, G. 1975, Geophysical studies in the Aegean Sea and in the eastern Mediterranean, *Boll. Geofis. Terro. Appl.* 17, 127-168.
- Özel, F.E. 1992, Marmara Denizi'nin neotektonik yapısının jeofizik yöntemlerle incelenmesi, DEÜ DBTE, Yayımlanmamış Doktora Tezi, İzmir.
- Rotstein, Y. 1985, Tectonics of the Aegean block: rotation, side arc collision crustal extension, *Tectonophysics* 117, 117-137.
- Saner, S. 1985, Saros körfezi dolayının çökelme istilileri ve tectonic yerlesimi, Kuzeydoğu Ege Denizi, Türkiye, T.J.K. Bül. 28, 1-10.
- Sarı, C. ve Ergün, M. 1985, Yinelemeli ters çözüm yöntemi ile yeraltı yoğunluk dağılımının saptanması, *Jeofizik* 2, I, 27-43.
- Taymaz, T., Jackson, J. and McKenzie, D. 1991, Active tectonics of the north and central Aegean Sea, *Geophy. Jour. Int.* 106, 443-490.
- Tutlu, H. 1991, Saros körfezi neotektoniğinin jeofizik yöntemlerle incelenmesi, DEÜ DBTE Deniz Jeol. ve Jeofiziği Prog. Yayımlanmamış Yüksek Lisans Tezi, İzmir.
- Ulug, A., Ergün, M., İzdar, E. and Önel, E. 1988, Geophysical investigation of Saros bay and its implications, *Rapp. Comm. Int. Medit.*, 31, 2, pp. 95.

## EK-1

### YOĞUNLUK FARKININ DERİNLİKLE DEĞİŞİMİNE İLİŞKİN KURAM

Tortul havzalarda yoğunluğun derinlikle değişimi ikinci dereceden bir işlevle tanımlanmaktadır(Bhaskara Rao,1986).

$$\rho(z) = a_0 + a_1 z + a_2 z^2$$

Bu bağıntıda  $z$ ; düşey yönde pozitif olarak ölçülen derinliği,  $a_0$ ; yüzeydeki yoğunluk farkını,  $a_1$  ve  $a_2$  ise ikinci dereceden bir işlevin sabitlerini göstermektedir.

Gravite anomalilerinin üç boyutlu modellemesi için tortul bir havza her bir gözlem noktasında yan yana yerleştirilmiş belli sayıda prizmalar olarak ele alınabilir. İkinci dereceden bir yoğunluk işlevine sahip prizmatik bir modelin gravite anomalisini veren bağıntı Bhaskara Rao ve diğ. 1990 tarafından

$$\Delta g(x, y) = Ga_0 \left| z \arctan \frac{XY}{zR} + \frac{X}{2} \ln \frac{R-Y}{R+Y} \right. \\ + \frac{Y}{2} \ln \frac{R-X}{R+X} \left| \begin{array}{c} x_2 \\ x=x_1 \end{array} \right| \left| \begin{array}{c} y_2 \\ y=y_1 \end{array} \right| \left| \begin{array}{c} z_2 \\ z=z_1 \end{array} \right| + Ga_1 \left| \frac{z^2}{2} \arctan \frac{XY}{ZR} \right. \\ - \frac{X^2}{2} \arctan \frac{Yz}{XR} - \frac{Y^2}{2} \arctan \frac{Xz}{YR} \\ + XY \ln(2R+2z) \left| \begin{array}{c} x_2 \\ x=x_1 \end{array} \right| \left| \begin{array}{c} y_2 \\ y=y_1 \end{array} \right| \left| \begin{array}{c} z_2 \\ z=z_1 \end{array} \right| + Ga_2 \left| \frac{z^3}{3} \arctan \frac{XY}{ZR} \right. \\ - \frac{X^3}{3} \ln \frac{R-Y}{R+Y} - \frac{Y^3}{3} \ln \frac{R-X}{R+X} \\ + \frac{2}{3} XYR \left| \begin{array}{c} x_2 \\ x=x_1 \end{array} \right| \left| \begin{array}{c} y_2 \\ y=y_1 \end{array} \right| \left| \begin{array}{c} z_2 \\ z=z_1 \end{array} \right|$$

bağıntısı ile verilmektedir. Bu bağıntıda  $X_1=x+T$ ,  $X_2=x-T$ ,  $Y_1=y+W$ ,  $Y_2=y-W$  ve  $R=(X^2+Y^2+Z^2)^{1/2}$  dir.  $G$  ise gravitasyonal çekim sabitidir.

Bilgisayar zamanından tasarruf etmek ve kullanımını pratik programlar yapmak amacıyla anomalinin hesaplanması çizgisel bir kütle olarak ele alınan prizma için yaklaşık bir bağıntı kullanılmıştır.

Prizmanın merkezinden uzaktaki küçük bir uzaklık için geçerli olan yaklaşık bağıntı ile hesaplanan anomali prizmanın merkezine olan uzaklık ne kadar büyürse kesin değere o kadar yakın olur. Yaklaşık bağıntı,

$$\Delta g = (x, y) = G a_0 \Delta x \Delta y \left| \frac{-1}{R} \right|_{z=z_1}^{z_2} + G a_1 \Delta x \Delta y \left| \frac{-z}{R} + \ln(z+R) \right|_{z=z_1}^{z_2} + G a_2 \Delta x \Delta y * \left| \frac{(2x^2 + 2y^2 + z^2)}{R} \right|_{z=z_1}^{z_2}$$

olarak verilmektedir. (Rao ve dig.,1990). Burada  $\Delta x$  ve  $\Delta y$ , x ve y yönlerindeki istasyon(ölçü) aralıklarıdır.

Limit değerleri yerine konursa yaklaşık bağıntı,

$$\Delta g(x, y) = G \Delta x \Delta y (P_1 + P_2 + P_3)$$

olarak yazılabilir. Bu bağıntıda,

$$P_1 = a_0 \left[ \frac{1}{R_1} - \frac{1}{R_2} \right]$$

$$P_2 = a_1 \left[ \frac{Z_1}{R_1} - \frac{Z_2}{R_2} + \ln \frac{R_2 + Z_2}{R_1 + Z_1} \right]$$

$$P_3 = a_2 \left[ 2(R_2 - R_1) + \frac{Z_1^2}{R_1} - \frac{Z_2^2}{R_2} \right]$$

$$R_1 = (x^2 + y^2 + z_1^2)^{1/2} \quad \text{ve} \quad R_2 = (x^2 + y^2 + z_2^2)^{1/2}$$

olarak tanımlanır.

Prizmanın taban derinliklerinin başlangıç kestirimleri için ikinci dereceden yoğunluk işlevinin sadece ilk terimi hesaba katıldığından herhangi bir noktadaki prizmanın tabanına olan derinlik ,

$$z(i,j) = g_{g0z}(i,j) / 2\pi G a_0$$

bağıntısı ile saptanır.